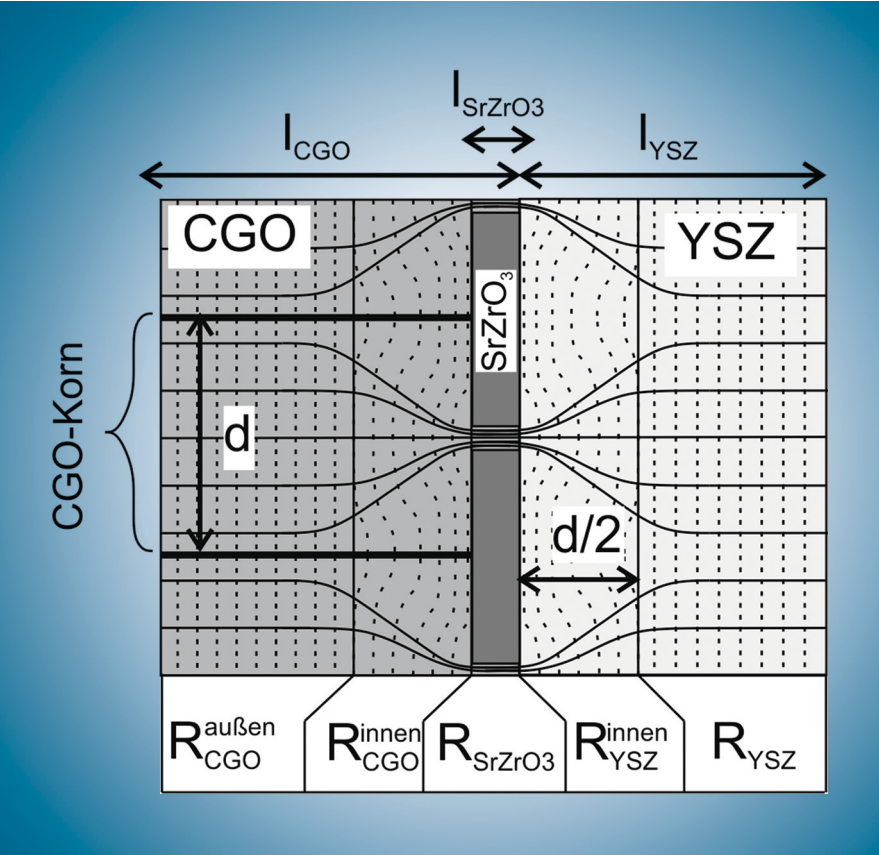
Strontium-Diffusion in Cer-Gadolinium-Oxid als Degradationsmechanismus der Festoxid-Brennstoffzelle

Tabea Mandt



Energie & Umwelt/ Energy & Environment Band/Volume 264 ISBN 978-3-95806-058-6



Forschungszentrum Jülich GmbH Institut für Energie- und Klimaforschung Elektrochemische Verfahrenstechnik (IEK-3)

Strontium-Diffusion in Cer-Gadolinium-Oxid als Degradationsmechanismus der Festoxid-Brennstoffzelle

Tabea Mandt

Schriften des Forschungszentrums Jülich Reihe Energie & Umwelt / Energy & Environment

Inhaltsverzeichnis

1	Einl	eitung	1				
	1.1	Motivation	2				
	1.2	Zielsetzung	2				
	1.3	Gliederung der Arbeit	3				
2	Die Festoxid-Brennstoffzelle						
	2.1	Funktionsweise der Brennstoffzelle	5				
	2.2	Strom-/Spannungskennlinie der Brennstoffzelle	7				
	2.3	Aufbau der Festoxid-Brennstoffzelle	7				
		2.3.1 Einzelzelle	7				
		,	10				
	2.4	Degradationsmechanismen der Festoxid-Brennstoffzelle	10				
		-9	11				
		2.4.2 Intrinsische Degradation der Zelle	11				
	2.5	Strategien zur Verringerung der SrZrO ₃ -Bildung	14				
		2.5.1 Anpassung der Betriebsweise/Präparation der CGO-Schicht	14				
		2.5.2 Alternative Kathodenwerkstoffe	14				
3	Star	d der Technik	17				
	3.1	Leistung und Langzeitverhalten der Forschungszentrum Jülich Festoxid-Brennstoffzelle	17				
	3.2	SOFC-Charakterisierung mittels Impedanzspektroskopie	19				
	3.3	Strontiumdiffusion in CGO	20				
4	Gru	ndlagen	23				
	4.1	Diffusion in Festkörpern	23				
		4.1.1 Klassifizierung der Diffusionsmechanismen	24				
		4.1.2 Diffusionskinetik im Volumen und entlang innerer Grenzflächen	25				
		4.1.3 Analyse von Diffusionsprofilen	26				
	4.2	Korngrenzbreiten von Keramiken	29				
	4.3	Widerstanderhöhung durch eine blockierende SrZrO ₃ - Zwischenschicht	31				
		4.3.1 Geometrisches Modell	31				
		4.3.2 Zeitskala	37				
	4.4	Elektrochemische Impedanzspektroskopie	38				
		4.4.1 Hintergrund und Vorgehensweise	38				
		4.4.2 Ersatzschaltbild	38				
		4.4.3 Darstellung	39				
		4.4.4 Messdatenanalyse	40				
	4.5	Herstellungsmethoden dünner kristalliner Schichten	41				
		4.5.1 Magnetronsputtern	41				

Inhaltsverzeichnis

		4.5.2 Elektronenstrahlverdampfen
		4.5.3 Molekularstrahlepitaxie
	4.6	Materialanalysemethoden
		4.6.1 Rasterelektronenmikroskopie
		4.6.2 Transmissionselektronenmikroskopie
		4.6.3 Röntgendiffraktometrie
		4.6.4 Sekundärionenmassenspektrometrie
5		erung der Festoxid-Brennstoffzelle 4
	5.1	Charakterisierte Zellen
	5.2	F
		5.2.1 Messaufbau
		5.2.2 Elektrochemische Versuche
		5.2.3 Analyse der Messdaten
	5.3	Charakterisierung der Anfangsphase
		5.3.1 Morphologie
		5.3.2 Elektrochemie: Gesputterte CGO-Schicht
		5.3.3 Elektrochemie: Elektronenstrahlverdampfte CGO-Schicht
		5.3.4 Elektrochemie: Siebgedruckte CGO-Schicht
		Ersatzschaltbild
	5.5	Langzeitverhalten
		5.5.1 Gesputterte CGO-Schicht
		5.5.2 Elektronenstrahlverdampfte CGO-Schicht 6
		5.5.3 Siebgedruckte CGO-Schicht
		Diskussion
	5.7	Zusammenfassung
6	Sr-E	Diffusion in CGO-Schichten 7
	6.1	Probenherstellung
	6.2	Experimentelle Durchführung
	6.3	
		6.3.1 Raster- und Transmissionselektronenmikroskopie
		6.3.2 Röntgendiffraktometrie
	6.4	Sr-Korngrenzdiffusion in CGO
		6.4.1 Diffusionsprofile
		6.4.2 Anpassung der Diffusionsprofile
		6.4.3 Effektiver Diffusionskoeffizient
		6.4.4 Korngrenzdiffusionskoeffizient
	6.5	Diskussion
	6.6	Zusammenfassung
_		0.70 (1.51)
7		lerstandzunahme durch die Bildung von SrZrO ₃ auf dem Elektrolyten
	7.1	Widerstandzunahme mit Zunahme der Querschnittbedeckung
		7.1.1 Formalismus
		7.1.2 Widerstandzunahme der Jülicher SOFC
	7.0	7.1.3 Abhängigkeit von den geometrischen Parametern
	7.2	Zeitlicher Verlauf der Widerstandzunahme
		7.2.1 Formalismus
	7 ^	7.2.2 Degradationsverlauf
	7.3	Diskussion

	7.4	Zusammenfassung	113			
8	Disk	kussion	115			
9	Zus	ammenfassung	121			
Ar	nhanç	9	125			
	Α	Herleitung Widerstand eines Punktkontakts	125			
	В	Referenzmessung zur Impedanzspektroskopie	127			
	С	Datenünerwachung SOFC-Betrieb	128			
	D	Kennwerte der SOFC-Degradation	131			
	Е	CGO-Korngröße und CGO-Flächenanteil	133			
	F	Kalibration absolute Sr-Konzentration				
	G	Sr-Diffusionsprofile in CGO				
Abbildungsverzeichnis 137						
Та	Tabellenverzeichnis Abkürzungsverzeichnis					
ΑŁ						
Lif	iteraturverzeichnis					



Energie & Umwelt /
Energy & Environment
Band / Volume 264
ISBN 978-3-95806-058-6

